

SADÍ DE BUEN*

NEVI
EN LA
SUPERFICIE
ANTERIOR
DEL
IRIS.

EL TÉRMINO NEVUS denota una neoplasia derivada de células pigmentadas o dopa positivas. Según Masson los nevi pueden originarse a partir de melanoblastos y de la proliferación de células de Schwann. Se desarrollan en la piel y algunas mucosas y en el globo ocular pueden localizarse en la conjuntiva y córnea y en la uvea.

En la uvea pueden manifestarse en cualquiera de sus partes, ya sea en la coroides, en el cuerpo ciliar o en el iris. Aquí son muy frecuentes. Según Reese³ y Wilder⁴ en el iris se encuentran en el 50% de los globos oculares normales, aunque no siempre se observan en el examen clínico. Son probablemente congénitos, pero por lo general no se hacen aparentes sino hasta después de la pubertad o durante los embarazos, cuando los melanocitos del cuerpo se vuelven más activos.

Se localizan en la superficie anterior del iris, región rica en melanoblastos y terminaciones nerviosas sensoriales. Están compuestos por agrupaciones de células fusiformes que se disponen paralelas a la superficie del iris. Estas células son de tamaño uniforme, con el núcleo ovalado y el citoplasma repleto de granulaciones melánicas (figs. 1 y 2), por lo cual es muy conveniente depigmentarlas para poder estudiar mejor su morfología (figs. 3 y 4). Suelen formar un nódulo excrecente hacia la cámara anterior o extenderse profundamente hacia el estroma del iris, o comportarse en ambas formas.

El estudio, tanto desde el punto de vista clínico como histológico de estas neoplasias, es importante porque se sabe que su número y tamaño puede aumentar cuando existe un melanoma maligno en otras partes de la uvea del mismo globo ocular, y en ocasiones, este creci-

* Departamento de Histología. Facultad de Medicina. U.N.A.M.

miento puede llamar la atención sobre uno de esos tumores malignos intraoculares, que hasta ese momento pudo haber permanecido sin diagnosticar.

La mayoría de las observaciones publicadas en la literatura sobre los nevi del iris han sido obtenidas del estudio clínico o basadas en la investigación histológica de material quirúrgico. En nuestro laboratorio disponemos de numerosos globos oculares obtenidos en la autopsia, lo cual nos ha permitido revisar numerosas preparaciones histológicas con miras a obtener datos adicionales sobre estas neoplasias del iris.

La presente comunicación se refiere al estudio de los nevi encontrados en el iris de 44 ojos correspondientes a 202 ojos enucleados en 182 autopsias consecutivas, no seleccionadas, procedentes del Departamento de Anatomía Patológica del Hospital Central y Escuela de Medicina de San Luis Potosí, S.L.P. (Cuadro N^o 1).

CUADRO 1

Número total de autopsias	182
Número de ojos estudiados:	
Izquierdo	112
Derecho	50
Los dos ojos (20 autopsias)	40
	<hr/>
	202

Se revisaron preparaciones histológicas hechas por el método de inclusión en parafina y teñidas con hematoxilina-eosina, tricrómico de Masson y algunas otras técnicas especiales. Además en algunos casos se depigmentaron siguiendo el método del permanganato de potasio².

Parte del material correspondiente a este estudio ha sido publicado previamente¹.

En el cuadro No. 2 se anota la distribución de las autopsias por décadas y la frecuencia de los nevi del iris en relación con la edad y el sexo.

Por lo general se encontró más de un nevus en cada iris de los afectados, aunque no se pudo precisar cuantos por no haberse hecho cortes seriados al través de toda la superficie del iris (fig. 5). Siempre estaban localizados en la superficie anterior del iris, cerca del orificio

CUADRO 2

<i>Distribución de las autopsias por décadas</i>				<i>Nevi en la superficie anterior del iris.</i>		
				<i>Nº de casos:</i>	<i>Sexo:</i>	
					<i>F.</i>	<i>M.</i>
0	—	9	55	6	3	3
10	—	19	14	6	3	3
20	—	29	21	7	2	5
30	—	39	23	8	4	4
40	—	49	12	2	1	1
50	—	59	22	7	3	6
60	—	69	24	6	1	5
70	—	79	5	0	0	0
80	—	89	4	0	0	0
Anciana			1	0	0	0
—				—	—	—
				182	44	17 27

pupilar (figs. 1, 5 y 6), pero también se hallaron en otras partes (fig. 3).

En nuestro material se encontró una frecuencia de 21.8%, o sea en algo más de un ojo de cada cinco. Esta cifra equivale a menos de la mitad del porcentaje señalado por Wilder⁴ y Reese³. Probablemente la diferencia se deba a que estos autores incluyeron en su estudio también los acúmulos o neoplásicos de células pigmentadas, al hecho de que los cortes histológicos estudiados por nosotros no representan todo el iris como ya se mencionó y a que en nuestro estudio sólo se tomó en cuenta el material necrótico sin hacer referencia al clínico.

RESUMEN

En un estudio histológico de 202 ojos se encontraron nevi en la superficie anterior del iris en 44 ojos, o sea en el 21.8%.

SUMMARY

202 eyeballs obtained in 182 routine non-selected autopsies were studied microscopically. In 44 eyes nevi in the anterior surface of the iris were found, that is, in 21.8%.

El trabajo técnico fue realizado por la Sra. Angeles B. de De Buen y en la elaboración de las microfotografías obtuvimos la valiosa ayuda del Sr. Guillermo Wusterhaus, del Departamento de Fotografía de la Facultad de Medicina de la U.N.A.M.

El A. desea agradecer al Dr. Tomás Velázquez, jefe del Departamento de Anatomía Patológica de la Escuela de Medicina de San Luis Potosí, S.L.P., el envío de los globos oculares.

REFERENCIAS

1. De Buen, S. y Velázquez, T.: *Pathologic Findings in the Eyes of One Hundred Routine Autopsy Cases*. Am. J. Ophth. 53: 315-325, 1962.
2. *Manual of Histological and Special Staining Technics*. Armed Forces Institute of Pathology. Washington, D. C., 1957, Pág. 26.
3. Reese, A. B.: *Pigment freckles of the iris (benign melanomas): their significance in relation to malignant melanoma of the uvea*. Am. J. Ophth. 27: 217-226, 1944.
4. Wilder, H. C.: *Relationship of pigment cell clusters in the iris to malignant melanoma of the uveal tract*. New York Academy of Sciences: *Biology of Melanomas (Special Publications, Vol. IV)* New York, The Academy, 1948, Págs. 137-143.

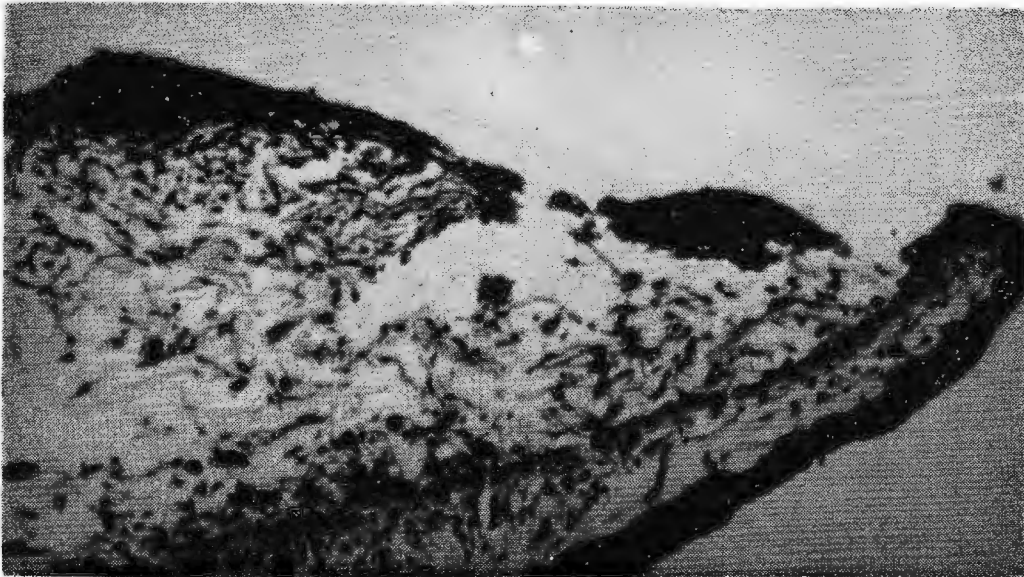


Fig. 1. Microfotografía a pequeño aumento que muestra dos nevi cerca del orificio pupilar. Tinción H & E. (A-506-S.L.P.)

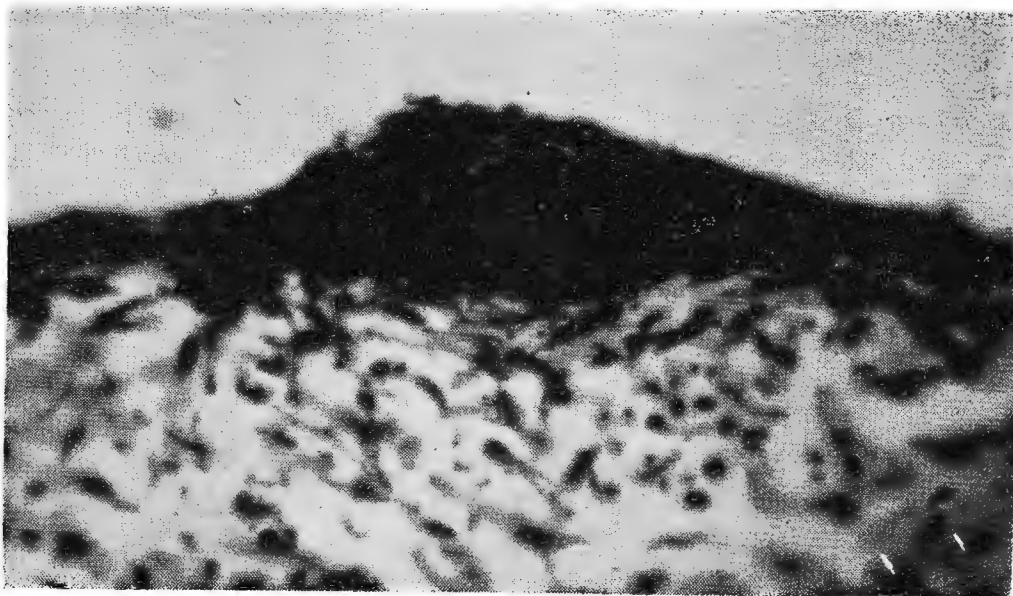


Fig. 2. Microfotografía a mayor aumento de uno de los nevi de la figura anterior.

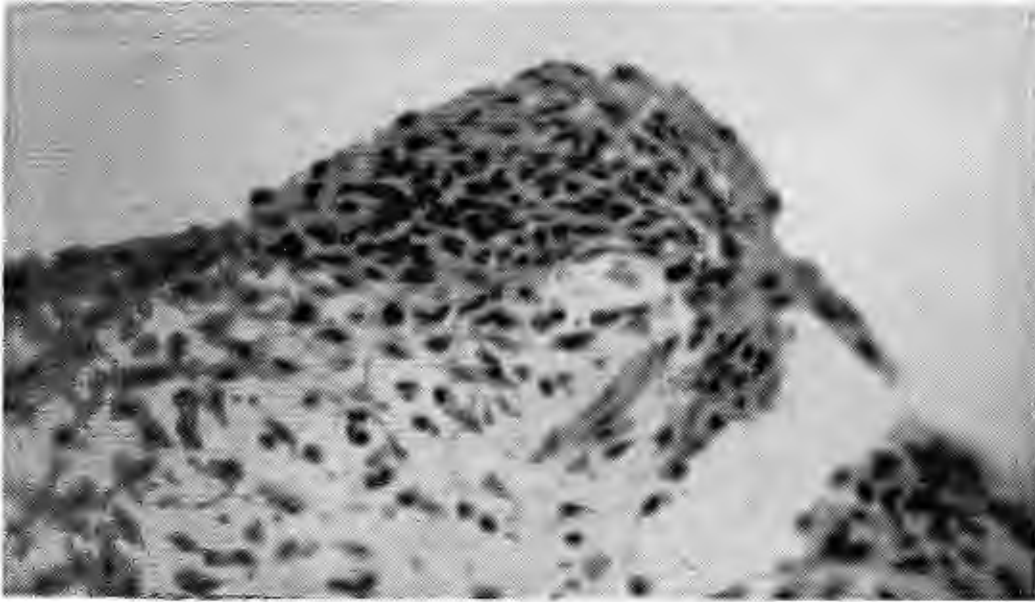


Fig. 3. En esta microfotografía a pequeño aumento tomada de una preparación depigmentada y teñida con hematoxilina-eosina se aprecia bien la morfología de las células névicas (A-506-S.L.P.).

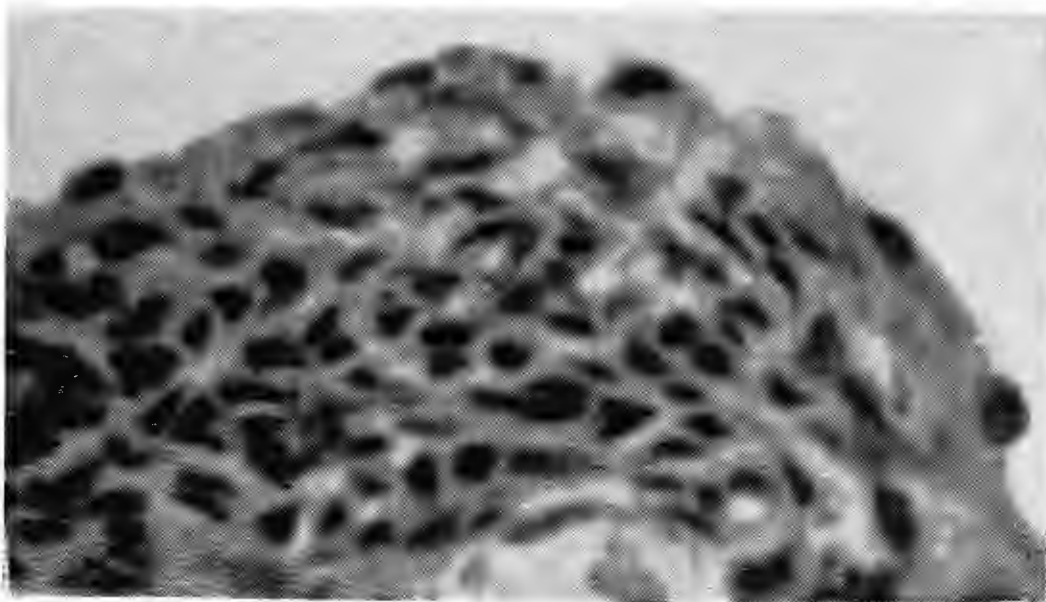


Fig. 4. Muestra un detalle de la figura anterior.

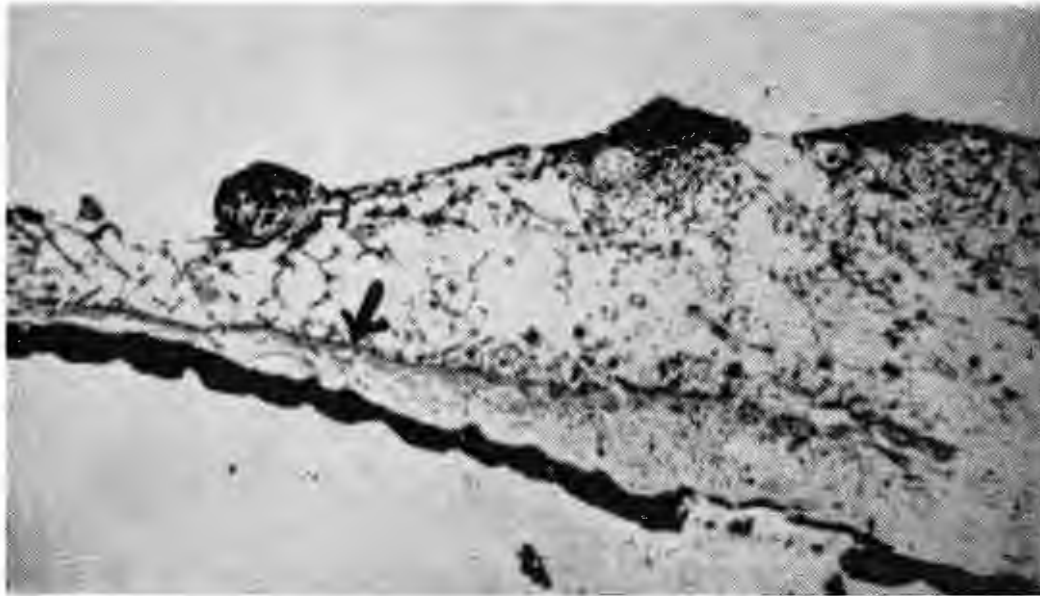


Fig. 5. Microfotografía a pequeño aumento en la cual se ven varios nevi cerca de la pupila. La flecha señala el músculo constrictor de la pupila. Tinción H & E. (A-509-S.L.P.; O.I.).

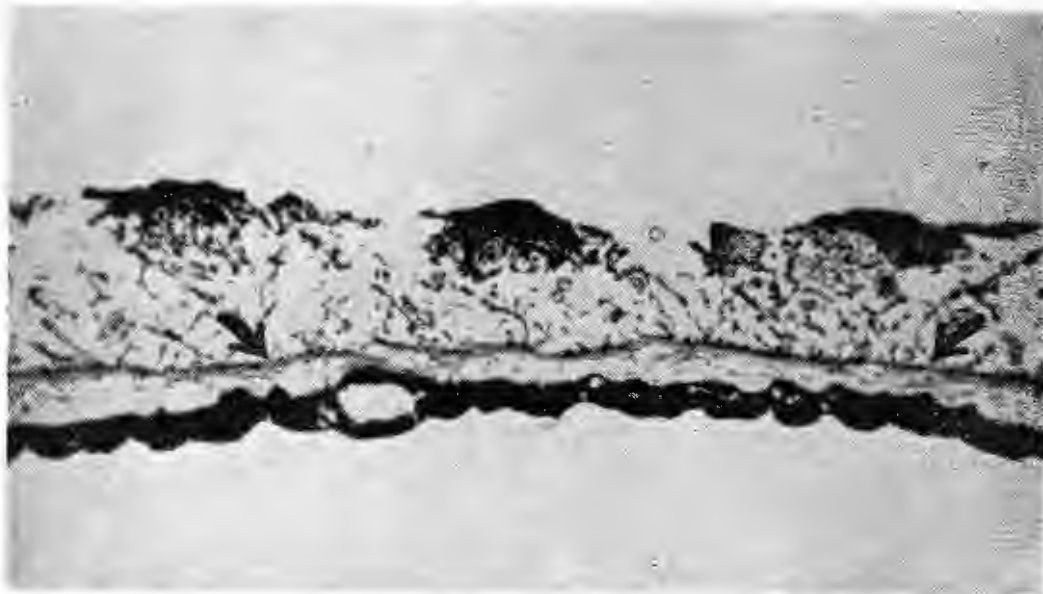


Fig. 6. Estos nevi también se hallan en la vecindad de la pupila. Las flechas señalan el músculo constrictor de la pupila (A-509-S.L.P.; O.I.).